

и электроны. Как будет показано в § 9.5, последние дают значительный вклад в уширение линии. Использование функций $S(\alpha)$, учитывающих влияние одних только ионов, серьезно занижает ширины водородных линий. Удовлетворительное теоретическое описание профилей водородных линий в звездных спектрах стало возможным только после создания квантовомеханической теории уширения линий.

ТАБЛИЦА 9.2

Расстояние от центра линии $\Delta\lambda_W$ (в Å), отделяющее е
области применимости статистического и ударного
приближений для водородных линий

Линии	Возмущающие частицы	T, K		
		2,5	10^4	10^4
H_α	Электроны	580,0	230,0	
	Протоны	0,63	0,25	
H_β	Электроны	120,0	48,0	
	Протоны	0,13	0,05	
H_γ	Электроны	48,0	19,0	
	Протоны	0,05	0,02	
H_δ	Электроны	32,0	13,0	
	Протоны	0,03	0,01	

9.5. Квантовая теория уширения линий

Точный профиль линии с учетом эффектов давления дается квантовомеханическими расчетами. Разработка этой теории явилась большим шагом вперед в одной из наиболее важных (и трудных) областей применения атомной физики к анализу звездных спектров. Хорошие обзоры общей теории можно найти в [62], [63], [64], [73], гл. 13, [179], [264], гл. 4, [268], [582]. Здесь будет дано лишь краткое общее представление об этой теории. В центре внимания будет тот случай, когда уровни атома испытывают ударное уширение электронами и квазистатическое уширение ионами.

ПРОФИЛЬ ЛИНИИ

Как было показано в гл. 4, мощность, излучаемая изолированным атомом при переходе из верхнего состояния j в нижнее со-

стояние i , равна [см. формулу (4.62)]

$$P = (4\omega^4/3c^3) |\langle i | \mathbf{d} | j \rangle|^2, \quad (9.114)$$

где \mathbf{d} — дипольный момент атома. Полное излучение, просуммированное по всем возможным подсостояниям, дающим вклад в линию, есть

$$P(\omega) = (4\omega^4/3c^3) \sum_{i,j} \rho_j \delta(\omega - \omega_{ij}) \cdot |\langle i | \mathbf{d} | j \rangle|^2. \quad (9.115)$$

Здесь ρ_j — вероятность того, что атом находится в верхнем состоянии j . При термодинамическом равновесии

$$\rho_j = \langle i | \rho | j \rangle = \exp(-E_j/kT)/U(T), \quad (9.116)$$

где $U(T)$ — сумма по состояниям.

Чтобы рассчитать уширение линий, излучаемых *атомом, находящимся в плазме*, будем считать, что излучающая система состоит из атома *плюс* возмущающие частицы, и обобщим смысл состояний $|i\rangle$ и $|j\rangle$, включив в них также и описание возмущающих частиц. Профиль линии можно тогда записать в виде

$$I(\omega) = \sum_{i,j} \rho_j \delta(\omega - \omega_{ij}) |\langle i | \mathbf{d} | j \rangle|^2. \quad (9.117)$$

Здесь ρ_j дает вероятность определенного состояния атома и возмущающей частицы. Если плазма находится в состоянии теплового равновесия, то ρ_j пропорционально

$$e^{-H/kT} = e^{-(H_A + H_P + V)/kT}, \quad (9.118)$$

где H — полный гамильтониан системы, H_A и H_P — гамильтонианы отдельного атома и возмущающей частицы и V — гамильтониан взаимодействия.

Описывать столкновения проще всего при помощи следующего преобразования Фурье:

$$\phi(t) = \int_{-\infty}^{\infty} I(\omega) e^{i\omega t} d\omega = \sum_{i,j} \rho_j e^{i\omega_{ij} t} |\langle i | \mathbf{d} | j \rangle|^2, \quad (9.119)$$

которое аналогично классической *автокорреляционной функции* (см. [72], стр. 498). Влияние на автокорреляционную функцию столкновений с заданным прицельным расстоянием (и статистические средние по всем возможным траекториям возмущающей частицы) рассчитывается непосредственно. Профиль же интенсивности

получится затем взятием обратного преобразования Фурье [см. формулу (9.7)].

Наша ближайшая задача — получить выражение для $\phi(t)$. Чтобы это сделать, нужно найти, как изменяются со временем собственные функции состояний $|i\rangle$ и $|j\rangle$ под влиянием возмущающих столкновений, выразив эти функции через эволюционный оператор $T(t, 0)$. Этот оператор определяется таким образом, что состояние системы в момент t связано с ее состоянием в момент $t = 0$ соотношением

$$|\alpha, t\rangle = T(t, 0)|\alpha, 0\rangle. \quad (9.120)$$

Далее, $|\alpha, t\rangle$ удовлетворяет уравнению Шредингера

$$H|\alpha, t\rangle = i\hbar\partial|\alpha, t\rangle/\partial t. \quad (9.121)$$

Подставив (9.120) в (9.121), мы сможем получить уравнение Шредингера для $T(t, 0)$. Учитывая, что $|\alpha, 0\rangle$ не зависит от времени, находим

$$HT(t, 0) = i\hbar\partial T(t, 0)/\partial t. \quad (9.122)$$

Решение этого уравнения имеет вид

$$T(t, 0) = e^{-iHt/\hbar}, \quad (9.123)$$

где экспоненту следует понимать как *оператор*. Теперь мы можем переписать формулу (9.119) через эволюционные операторы, учитываящие возмущения:

$$\begin{aligned} \phi(t) &= \sum_{i,j} \rho_j e^{i(E_j - E_i)t/\hbar} |\langle i | d | j \rangle|^2 = \\ &= \sum_{i,j} \rho_j \langle j | d | i \rangle e^{-iE_it/\hbar} \langle i | d | j \rangle e^{iE_jt/\hbar} = \\ &= \sum_{i,j} \rho_j \langle j | dT | i \rangle \langle i | dT^+ | j \rangle. \end{aligned} \quad (9.124)$$

Если $|\gamma\rangle$ — полный набор состояний, то должно выполняться следующее условие полноты:

$$\langle \alpha | \beta \rangle = \sum_{\gamma} \langle \alpha | \gamma \rangle \langle \gamma | \beta \rangle. \quad (9.125)$$

Поэтому выражение (9.124) можно переписать следующим образом:

$$\phi(t) = \sum_j \rho_j \langle j | dT dT^+ | j \rangle = \text{Sp}(\rho dT dT^+). \quad (9.126)$$

При взятии следа учитываются состояния как атома, так и возмущающей частицы. Полученное выражение является весьма общим. Конкретный вид $\phi(t)$ зависит от вида оператора T .

ПРИБЛИЖЕНИЕ КЛАССИЧЕСКОЙ ТРАЕКТОРИИ

Рассмотрим теперь подробнее, как вычисляется оператор T . Пусть ψ — волновая функция, описывающая состояние полной системы «атом плюс возмущающая частица». Она является решением уравнения

$$i\hbar \partial\psi/\partial t = (H_A + H_P + V)\psi. \quad (9.127)$$

Заметим, что H_A не зависит от координат возмущающей частицы, а H_P не зависит от координат, характеризующих состояние атома, тогда как V зависит и от тех, и от других координат. Далее, поскольку атом находится в электростатическом поле иона напряженности F , то H_A зависит от F : $H_A = H_A(F)$. Для краткости явно указывать зависимость от F мы не будем нигде, кроме окончательного результата.

Чтобы продвинуться дальше, предположим теперь, что возмущающая частица движется по классической траектории, а именно по *прямой* — мимо нейтрального атома и по *гиперболе* — вокруг иона. Это предположение будет выполнено, если *дебройлевская длина волны* возмущающей частицы мала по сравнению с прицельными расстояниями тех столкновений, которые дают основной вклад в уширение линий. Иначе говоря, должно выполняться условие $\rho \gg \lambda = \hbar/mv$, или $mvr \gg \hbar$. Но mvr — попросту момент возмущающей частицы ($= l\hbar$). Только что установленный критерий равносителен требованию, чтобы азимутальное квантовое число l было много больше единицы. В этом случае на основании *принципа соответствия* можно ожидать, что классическое описание налетающей частицы будет оправданно. Применимость этого приближения при расчете уширения линий следует всегда проверять. В большинстве случаев, представляющих астрофизический интерес, оно оказывается выполненным. Конечно, всегда следует ожидать, что для *некоторых* возмущающих частиц оно нарушается, но приближение остается применимым, если основной вклад в уширение линии дается не ими (см. также [73], стр. 498 и дальше). Теория, не использующая приближения классической траектории, излагается в [64].

Предположим, что у волновой функции системы «атом плюс

возмущающая частица» переменные разделяются, т.е. $\psi(t) = \alpha(t)\pi(t)$, где $\alpha(t)$ и $\pi(t)$ — волновые функции атома и частицы. Примем далее, что траектория возмущающей частицы фиксирована и не зависит от состояния атома, с которым она взаимодействует. При таком рассмотрении влияние возмущающей частицы на атом учитывается; обратное же воздействие атома на частицу не принимается во внимание. Это будет верно, если энергия, приобретаемая или теряемая возмущающей частицей (порядка $\hbar\Gamma$, где Γ — ширина линии), гораздо меньше ее кинетической энергии (kT). Это условие выполняется почти всегда. Некоторое число столкновений, при которых происходит большой обмен энергией, всегда осуществляется, но и здесь они не делают приближение неприменимым, если уширение определяется не ими.

При указанных выше предположениях функция $\pi(t)$ есть решение уравнения

$$i\hbar\partial\pi(t)/\partial t = H_P\pi(t), \quad (9.128)$$

так что эволюционный оператор для возмущающей частицы имеет вид

$$T_P(t, 0) = e^{-iH_P t/\hbar}. \quad (9.129)$$

Рассмотрим теперь уравнение Шредингера для самого атома. Чтобы получить его, умножим уравнения (9.127) и (9.128) на π^* , проинтегрируем по координатам возмущающей частицы и вычтем одно из другого. Тогда найдем

$$i\hbar\partial\alpha(t)/\partial t = (H_A + \int\pi^* V\pi d\tau_P)\alpha(t). \quad (9.130)$$

Если волновые пакеты возмущающих частиц действительно настолько узки, что эти частицы можно рассматривать как классические, движущиеся по классическим траекториям, то можно сделать следующее отождествление:

$$\int\pi^* V\pi d\tau_P \rightarrow V_{\text{кл}}(t), \quad (9.131)$$

где $V_{\text{кл}}(t)$ — классический потенциал взаимодействия. В этом состоит самая суть приближения классической траектории. Уравнение Шредингера для эволюционного оператора атома принимает тогда вид

$$i\hbar\partial T_A(t, 0)/\partial t = [H_A + V_{\text{кл}}(t)]T_A(t, 0), \quad (9.132)$$

а эволюционный оператор полной системы будет

$$T(t, 0) = T_A(t, 0)T_P(t, 0) = T_A(t, 0)e^{-iH_P t/\hbar}. \quad (9.133)$$

Наконец, напишем матрицу плотности ρ в виде $\rho = \rho_A \cdot \rho_P$, где ρ_A относится только к атомным состояниям, а ρ_P определяется лишь состояниями возмущающей частицы, причем последняя матрица диагональна относительно координат частицы. И здесь такое представление возможно, если можно пренебречь обратным воздействием атома на частицу.

Если эти выражения для ρ и T подставить в формулу (9.126) для $\phi(t)$ и принять во внимание, что переменные у $\psi(t)$ разделяются, то найдем

$$\phi(t) = \text{Sp} \{ \rho_A \mathbf{d} T_A \mathbf{d} T_A^+ \}. \quad (9.134)$$

След по состояниям возмущающей частицы свелся просто к *термическому среднему по всем возмущающим частицам* (которое обозначено *фигурными скобками*), и, следовательно, написанный след берется *только по состояниям атома*.

УДАРНОЕ ПРИБЛИЖЕНИЕ

Чтобы вычислить $\phi(t)$ по формуле (9.134), предположим, что как начальное состояние a , так и конечное состояние b содержат по несколько подсостояний. Будем обозначать эти подсостояния соответственно α и β . Примем также, что дипольные переходы возможны только между подсостояниями a и подсостояниями b , радиативные же переходы между подсостояниями в пределах a и b можно не учитывать. С другой стороны, пренебрежем ударными переходами между состояниями a и b и предположим, что столкновения могут вызывать лишь переходы между различными подсостояниями в пределах a или b . Таким образом, мы имеем $\langle \alpha | \mathbf{d} | \alpha' \rangle = 0$, $\langle \beta | \mathbf{d} | \beta' \rangle = 0$ и $\langle \alpha | T_{a, b} | \beta \rangle = 0$. Тогда, расписав след в формуле (9.134), находим

$$\phi(t) = \rho_a \sum_{\alpha, \alpha', \beta, \beta'} \langle \alpha | \mathbf{d} | \beta \rangle \langle \beta' | \mathbf{d} | \alpha' \rangle \times \langle \alpha | \langle \beta | \{ T_b, T_a^* \} | \alpha' \rangle | \beta' \rangle. \quad (9.135)$$

Здесь мы пренебрегли изменениями ρ_a от подсостояния к подсостоянию верхнего уровня a и приняли во внимание, что статистическое усреднение должно распространяться только на эволюционные операторы.

Удобно заменить полный оператор эволюции во времени T эволюционным оператором в *представлении взаимодействия* U . Он определяется следующим образом:

$$U(t, 0) = e^{iH_A t / \hbar} T(t, 0). \quad (9.136)$$

Это определение отделяет зависимость от времени невозмущенных собственных функций от эффектов, вызываемых возмущениями. Для невозмущенных собственных состояний $U(t, 0) = 1$. После подстановки в выражение (9.135) будем иметь

$$\phi(t) = \rho_a \sum \langle \alpha | d | \beta \rangle \langle \beta' | d | \alpha' \rangle \times \\ \times \langle \alpha | \langle \beta | e^{-iH_b t/\hbar} \{ U_b U_a^* \} e^{iH_a t/\hbar} | \alpha' \rangle | \beta' \rangle. \quad (9.137)$$

Подставляя (9.136) в (9.132), получаем уравнение Шредингера для $U(t, 0)$:

$$i\hbar \partial U(t, 0) / \partial t = e^{iH_A t/\hbar} V_{\text{кл}}(t) e^{-iH_A t/\hbar} U(t, 0) \equiv V'_{\text{кл}} U(t, 0). \quad (9.138)$$

Будем решать это уравнение *итерациями*, взяв в качестве первого приближения $U(t, 0) = 1$. Тогда решение будет иметь вид

$$U(t, 0) = 1 + (i\hbar)^{-1} \int_0^t V'_{\text{кл}}(t_1) dt_1 + \\ + (i\hbar)^{-2} \int_0^t dt_2 V'_{\text{кл}}(t_2) \int_0^{t_2} dt_1 V'_{\text{кл}}(t_1) + \dots . \quad (9.139)$$

Обратимся теперь к вычислению статистического среднего $\{ U_b U_a^* \}$. Будем действовать аналогично тому, как это делается в теории Линдхольма. Именно, запишем изменение $\{ U_b U_a^* \}$ за время dt , вызываемое некоторым определенным столкновением (которое рассматривается как удар), в виде

$$\Delta \{ U_b U_a^* \} = \{ U_b(t + \Delta t, t) U_a^*(t + \Delta t, t) - 1 \} \{ U_b U_a^* \}.$$

Здесь мы также предположим, что изменения за время $(t, t + \Delta t)$ статистически не зависят от текущих значений операторов, и поэтому среднее от произведения можно заменить произведением средних. Тогда, воспользовавшись разложением (9.139) для промежутка $(t, t + \Delta t)$, можно получить явное выражение для $\{ U_b(t + \Delta t, t) U_a^*(t + \Delta t, t) - 1 \}$ (см. например, [264], стр. 70; [268], стр. 37), имеющее вид

$$\{ U_b(t + \Delta t, t) U_a^*(t + \Delta t, t) - 1 \} = e^{i(H_b - H_a)t/\hbar} (\Phi_{ab} \Delta t) e^{-i(H_b - H_a)t/\hbar}. \quad (9.140)$$

Таким образом, для $\{ U_b U_a^* \}$ получается дифференциальное уравнение, а именно

$$d \{ U_b U_a^* \} / dt = e^{i(H_b - H_a)t/\hbar} \Phi_{ab} e^{-i(H_b - H_a)t/\hbar} \{ U_b U_a^* \}, \quad (9.141)$$

решение которого имеет вид

$$\{U_b(t, 0)U_a^*(t, 0)\} = e^{i(H_b - H_a)t/\hbar} \exp[-i(H_b - H_a)t/\hbar + \Phi_{ab}t]. \quad (9.142)$$

Подставив теперь это выражение в (9.137), находим

$$\begin{aligned} \phi(t) = \rho_a \sum_{\alpha, \alpha', \beta, \beta'} & \langle \alpha | d | \beta \rangle \langle \beta' | d | \alpha' \rangle \times \\ & \times \langle \alpha | \langle \beta | e^{i(H_b - H_a)t/\hbar + \Phi_{ab}t} | \alpha' \rangle | \beta' \rangle. \end{aligned} \quad (9.143)$$

Выполняя, далее, обращение преобразования Фурье (и вводя вновь прямое указание на зависимость от квазистатического поля иона F), получим профиль интенсивности

$$\begin{aligned} I(\omega, F) = \frac{\rho_a}{\pi} \operatorname{Re} \sum & \langle \alpha | d | \beta \rangle \langle \beta' | d | \alpha' \rangle \times \\ & \times \langle \alpha | \langle \beta | [i\omega - \Phi_{ab}(F) - i[H_a(F) - H_b(F)]/\hbar]^{-1} | \alpha' \rangle | \beta' \rangle. \end{aligned} \quad (9.144)$$

Здесь нами было использовано то обстоятельство, что, как оказывается, $\Phi_{ab}(F)$ имеет отрицательную вещественную часть. Если $W(F)$ — плотность вероятности распределения значений напряженности поля ионов F , то окончательный профиль, усредненный по всем значениям напряженности поля, дается формулой

$$\begin{aligned} I(\omega) = \frac{\rho_a}{\pi} \int_0^\infty & W(F)dF \operatorname{Re} \sum_{\alpha, \beta, \alpha', \beta'} \langle \alpha | d | \beta \rangle \langle \beta' | d | \alpha' \rangle \times \\ & \times \langle \alpha | \langle \beta | [i\omega - \Phi_{ab}(F) - i(H_a(F) - H_b(F))]/\hbar]^{-1} | \alpha' \rangle | \beta' \rangle. \end{aligned} \quad (9.145)$$

Формула (9.145) является весьма общей. Она использовалась в большинстве квантовомеханических расчетов профилей линий, расширенных за счет эффекта Штарка. Она справедлива, если: 1) интервал Δt [фигурирующий в формуле (9.140)] можно выбрать так, чтобы он целиком охватывал столкновение, 2) когда столкновения перекрываются, то они достаточно слабы, чтобы вносимые ими вклады в итеративное решение для U просто складывались, 3) возмущающие частицы можно считать классическими. Выполнение этих критериев применимости теории в каждом конкретном случае должно проверяться.

ПРИМЕНЕНИЕ К ВОДОРОДУ

Одним из самых важных применений описанной выше теории был расчет влияния электронных ударов на уширение водородных

линий. Теория этого вопроса достигла очень высокого уровня совершенства. Теоретические профили прекрасно согласуются с лабораторными измерениями [671]. На их основе удается удовлетворительно объяснить и наблюдаемые звездные профили (см. рис. 10.4).

Кратко изложенное выше ударное приближение интенсивно применялось Гримом и его сотрудниками [263], [265], [270], [271]. Хотя в принципе и ясно, как вычислить Φ_{ab} , практически выполнить этот расчет нелегко, так как здесь приходится производить обрезание как со стороны малых, так и со стороны больших значений прицельного расстояния. Необходимость обрезания со стороны малых ρ (меньших радиуса Вайскопфа) определяется тем, что столкновения становятся сильными (их невозможно корректно учесть при помощи ряда теории возмущений для эволюционного оператора U). Обрезание со стороны больших ρ необходимо для учета влияния дебаевского экранирования. Дополнительные процедуры обрезания требуются также для того, чтобы описать переход электронов из ударного режима в статистический. Венцом всей этой работы явилась публикация обширных таблиц [353], [356] для четырех первых членов лаймановской и бальмеровской серий. В этих таблицах даются значения функции $S(\alpha)$, которая аналогична профилю, фигурирующему в (9.110) и (9.111), но учитывает *влияние электронных ударов*. Другой подход, развитый Купером, Смитом и Вайдолом [581], [647], [648], [649], использует *единую теорию*, в которой переход электронов из ударного в квазистатический режим учитывается автоматически. Обширные таблицы результатов, полученных на основе этой теории, были опубликованы для первых четырех членов лаймановской и бальмеровской серий для различных значений температур и плотностей, характерных для звездных атмосфер. В этих таблицах дается и свертка штарковского профиля для водорода с доплеровским, описывающим распределение тепловых скоростей. На рис. 9.2 сравнивается профиль линии H_δ по единой теории (учитывающей как электронное, так и ионное уширение) с профилем в квазистатическом приближении (с учетом только ионов). Для старших членов серий можно использовать приближенную теорию [262], получающуюся, если в некоторые матричные элементы внести соответствующие изменения [265] (см. также [45]).

В астрофизических условиях на водородных линиях помимо эффекта Штарка существенно сказываются и другие механизмы уширения. Ядро линии определяется в основном доплеровским уширением. При низких электронных концентрациях в крыльях может существенным оказаться влияние затухания вследствие излучения и

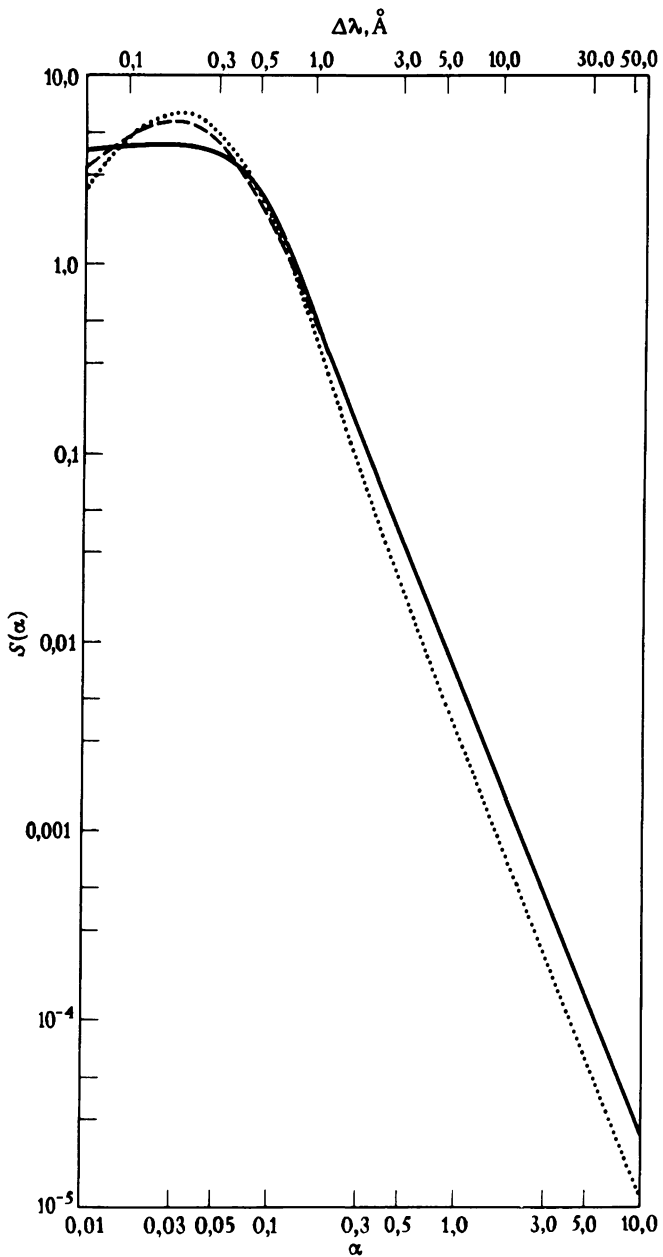


Рис. 9.2. Штарковские профили H_δ при $n_e = 3,16 \cdot 10^{14} \text{ см}^{-3}$, $T = 10^4 \text{ К}$. Точечная кривая — хольцмарковский профиль, учитывающий уширение только за счет ионов [634]. Штриховая кривая — профиль при квазистатическом уширении ионами и ударном уширении электронами [650]. Сплошная кривая — свертка профиля, учитывающего уширение под действием электронов и ионов, с доплеровским профилем, обусловленным тепловыми движениями атомов. Обратите внимание, что в ядре линии доминирует доплер-эффект и что при учете уширения электронами коэффициент поглощения в крыле линии значительно возрастает.

резонансного уширения. Если предположить, что все эти механизмы действуют независимо, то их совместное влияние можно учесть путем вычисления свертки соответствующих профилей. Свертка доплеровского профиля с лоренцевским, учитывающим радиационное и резонансное затухания, дает фойгтовский профиль $H(a, v)$, где $a = (\Gamma_{изл} + \Gamma_{рез})/4\pi\Delta\nu_D$ и $v = \Delta\nu/\Delta\nu_D$. Этот фойгтовский профиль затем свертывается (численно) со штарковским профилем $S(\alpha)$, что дает атомный коэффициент поглощения

$$\alpha_v(\Delta\nu) = (\pi^{1/2}e^2/mc)f \int_{-\infty}^{\infty} S^*(\Delta\nu + v\Delta\nu_D)H(a, v)dv, \quad (9.146)$$

где S^* — профиль $S(\alpha)$, пересчитанный на шкалу частот.

ВОДОРОДОПОДОБНЫЕ ИОНЫ

Водородоподобные ионы с зарядом ядра Z имеют точно такой же набор штарковских компонент, что и водород, хотя энергии, конечно, другие. Профиль, определяемый уширением одними ионами, имеет вид

$$S(\alpha) = Z^5 S_{QS}(Z^5\alpha), \quad (9.147)$$

где S_{QS} — квазистатический профиль для водорода, даваемый в [634]. Отметим, что линии ионов в шкале длин волн уже в Z^5 раз. Поскольку с ростом Z штарковские ширины у ионов уменьшаются, а вероятности радиативных переходов растут, начиная с некоторого Z штарковским уширением можно пренебречь по сравнению с $\Gamma_{изл}$.

Влияние уширения электронами у водородоподобных ионов аналогично его влиянию у водорода, хотя выражение для Φ_{ab} изменяется, так как теперь возмущающий электрон движется вокруг положительно заряженного иона по гиперболе, а не по прямоугольной траектории. Результаты ранних расчетов уширения линий HeII $\lambda 3203$ и $\lambda 4686$ (очень сильных в спектрах звезд типа O) приведены в [272]. Значительно лучшие расчеты для линий HeII $\lambda\lambda 256; 304; 1085; 1216; 1640; 4686$ и 3203 даются в [354], [355]. Результаты расчетов на основе единой теории [258], [260] для линии $\lambda 304$ приводятся в [259]. К сожалению, точных расчетов для представляющих большой интерес для астрофизики линий серии Пиккеринга $n = 4$ (например, $\lambda\lambda 10124; 5412; 4542; 4200$ и т. д.) пока нет, имеется лишь приближенная теория [262], [265], [45].

ЛИНИИ НЕЙТРАЛЬНОГО ГЕЛИЯ

В спектрах В-звезд видны сильные линии HeI. Здесь на них действуют ударное уширение электронами и квазистатическое уширение ионами за счет квадратичного эффекта Штарка. Для изолированных линий получаются профили вида

$$I(\Delta\omega) = \frac{w}{\pi} \int_0^{\infty} \frac{W(F)dF}{(\Delta\omega - d - C_4 F^2/e^2)^2 + w^2}, \quad (9.148)$$

где $W(F)$ — вероятность того, что поле имеет напряженность F , w — ширина линии, обусловленная электронными ударами, и d — сдвиг линии. Заметим, что так как напряженность поля входит только в виде F^2 , ионные поля всегда смещают компоненты линии в одном направлении, что вызывает появление *асимметричного профиля*.

Явные выражения для w и d приводятся для изолированных линий в [269]; [264], стр. 81 — 86; [268], §II.3с; [180]. Таблицы, позволяющие рассчитывать профили по значениям некоторых безразмерных параметров, даются в [269]. Детальные численные данные, касающиеся w и d для нескольких линий, даются в [269]; улучшенные результаты имеются в [180] и [67]. Гораздо более интересный (и более трудный) случай представляют линии диффузной серии $2^3P - n^3D$ и $2^1P - n^1D$ при $n \geq 4$. Как впервые было указано Струве [614], [615], у линии $2^3P - 4^3D$ HeI $\lambda 4471$ имеется «запрещенная» компонента $2^3P - 4^3F$ на 4470 Å. У других линий диффузной серии также наблюдаются подобные компоненты, которые возникают вследствие перемешивания состояний 3D и 3F или 1D и 1F из-за наличия в плазме электрических полей. Поскольку линии диффузной серии принадлежат к числу тех линий в звездных спектрах, для которых имеются наилучшие наблюдения, построение надежной теории их образования представляет большой интерес. Первые попытки построить теорию их уширения [66], [245], [266] были не слишком удачны, так как «запрещенные» компоненты получались слишком узкими и имеющими слишком большую интенсивность. При сравнении с наблюдаемыми звездными профилями теоретические профили давали слишком большой контраст между «запрещенной» абсорбционной компонентой и провалом между ней и разрешенной компонентой; теория не согласовалась и с лабораторными измерениями [122], [123], [124]. Затем была построена новая, более точная теория для линий HeI $\lambda 4471$ [68] и $\lambda 4921$ ($2^1P - 4^1D$)

[69]. Теоретические профили, рассчитанные по этой теории, превосходно согласуются с наблюдаемыми в звездных спектрах [438], [439].

ДРУГИЕ ЛЕГКИЕ ЭЛЕМЕНТЫ

Электронные столкновения приводят к уширению линий и других элементов, наблюдающихся в спектрах звезд. Ширины и сдвиги этих линий можно рассчитать с помощью методов, аналогичных тем, которые используются для HeI (см. [268], §II.3c, II.3d). Обширные результаты для нейтральных атомов приводятся в [264], стр. 454 — 527, [268], приложение IV, [84]. В случае заряженных ионов кулоновское взаимодействие между излучающим ионом и возмущающей частицей приводит к тому, что эти частицы движутся по гиперболическим траекториям [110], [111]. Ширины линий, рассчитанные с учетом этого обстоятельства, существенно больше, чем в случае прямолинейной траектории. Обширные результаты детальных расчетов для ионов даются в [268], приложение V; [111], [548], [167], [549], [550]. Удобные приближенные формулы для оценки штартковских ширин приводятся в [267], [183], [549].